

## 円孔を有する無限厚板の軸対称応力解析について

北見工業大学 正員 奥村 勇

## 1. 緒言

類円柱および円筒の軸対称応力問題の研究は、従来より、数多く見受けられる。<sup>1), 2)</sup> これらの研究と幾分異なる研究として、一軸引張を受ける円孔を有する厚板の応力問題を取り扱った中原<sup>3)</sup>ら、Alberas<sup>4)</sup>の論文も見受けられる。

本論文は、無限厚板の円孔面に部分分布の圧縮荷重が作用する軸対称問題の3次元応力解析を H. Neuber の解に基づいて行なうものである。円筒座標による軸対称問題の解法は、J. H. Michell の関数によるのが一般的であるが、本論文では、H. Neuber の解を用いることにする。

## 2. 基本解と応力関数

変位ベクトルで表された釣合方程式の基本解を H. Neuber にしたがって次のようく置く。

$$2G\bar{u} = -\text{grad} F + \nu(1-\nu)\bar{\sigma} \quad \dots \dots \dots (1)$$

ただし

$$F = R\bar{\sigma} + \bar{\psi}_0, \quad \nabla^2 \bar{\psi}_0 = 0 \dots \dots (2), \quad \nabla^2 \bar{\sigma} = 0 \dots \dots (3)$$

$$\bar{\sigma} = (\bar{\sigma}_1, \bar{\sigma}_2, \bar{\sigma}_3), \quad R = (r, 0, z)$$

G:せん断弾性係数,  $\nu$ :ボアソン比

式(3)を成分で表わすと、軸対称問題の場合には、次式となる。

$$\nabla^2 \bar{\sigma}_3 = 0 \dots \dots (4), \quad \nabla^2 \bar{\sigma}_1 - \frac{\bar{\sigma}_1}{r^2} = 0 \dots \dots (5)$$

$$\bar{\sigma}_2 = \bar{\sigma}_{02} = 0 \dots \dots (6), \quad \nabla^2 = \frac{\partial^2}{\partial r^2} + \frac{1}{r} \frac{\partial}{\partial r} + \frac{\partial^2}{\partial z^2}$$

式(2), (4)および式(5)を解いて、応力関数  $\bar{\psi}_0$ ,  $\bar{\sigma}_1$  などは次のように求められる。

$$\bar{\psi}_{03} = - \sum_{s=1}^{\infty} (A_s J_0(ds/r) + B_s Y_0(ds/r)) \cosh dsz \quad \dots \dots \dots (7)$$

$$\bar{\psi}_3 = - \sum_{s=1}^{\infty} (G_s J_0(ds/r) + D_s Y_0(ds/r)) \sinh dsz \quad \dots \dots \dots$$

$$\bar{\sigma}_{01} = - \sum_{s=1}^{\infty} E_s K_0(B_s r) \cos B_s z + E_s \ln r \quad \dots \dots \dots (8)$$

$$\bar{\sigma}_1 = - \sum_{s=1}^{\infty} F_s K_1(B_s r) \cos B_s z$$

ここで

$$B_s = n\pi/h, \quad ds = \lambda_s/a, \quad s, n = 1, 2, 3 \dots$$

式(8)の第1式の第2項は荷重の Fourier 級数展開に表われる定数項を処理するため附加したものである。

 $A_s$ ,  $G_s$  および  $E_s$  などは求められるべき未知定数である。

## 3. 変位と応力の表現式

式(7)から導出される変位および応力には superscript (1) を、式(8)から得られるものは(2)を付して表わすと、変位および応力は次のように表わされる。

$$2G\bar{u}_r^{(1)} = \sum_{s=1}^{\infty} (-ds) J_1(ds/r) (A_s \cosh dsz + G_s z \sinh dsz) + \\ + \sum_{s=1}^{\infty} (-ds) Y_1(ds/r) (B_s \cosh dsz + D_s z \sinh dsz) \dots \dots \dots (9)$$

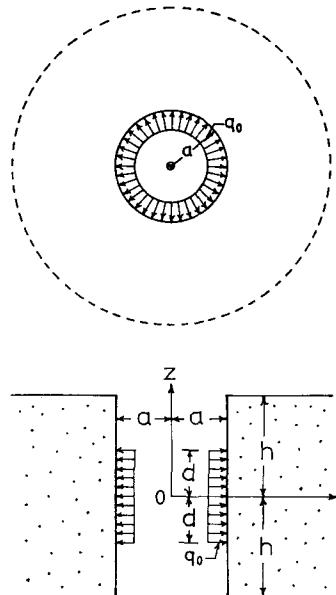


図-1 円孔を有する無限厚板

$$2G\bar{U}_z^{(1)} = \sum_{s=1}^{\infty} [ \{ d_s A_s - (3-4\nu) G_s \} \sinh d_s z + G_s d_s z \cosh d_s z ] J_0(d_s r) + \\ + \sum_{s=1}^{\infty} [ \{ d_s B_s - (3-4\nu) D_s \} \sinh d_s z + D_s d_s z \cosh d_s z ] Y_0(d_s r) \dots \dots (10)$$

$$2G\bar{U}_r^{(2)} = \sum_{n=1}^{\infty} (-1) \cos \beta_n z [ \{ \beta_n E_n + 4(1-\nu) F_n \} K_1(\beta_n r) + F_n \beta_n r K_0(\beta_n r) ] - \frac{E_0}{r} \dots \dots (11)$$

$$2G\bar{U}_z^{(2)} = \sum_{n=1}^{\infty} (-\beta_n) \sin \beta_n z \{ E_n K_0(\beta_n r) + F_n r K_1(\beta_n r) \} \dots \dots (12)$$

$$\sigma_r^{(1)} = \sum_{s=1}^{\infty} (-d_s) [ \{ (d_s A_s + 2\nu G_s) \cosh d_s z + G_s d_s z \sinh d_s z \} J_0(d_s r) - \\ - \frac{J_1(d_s r)}{r} (A_s \cosh d_s z + G_s z \sinh d_s z) ] + \\ + \sum_{s=1}^{\infty} (-d_s) [ \{ (d_s B_s + 2\nu D_s) \cosh d_s z + D_s d_s z \sinh d_s z \} Y_0(d_s r) - \\ - \frac{Y_1(d_s r)}{r} (B_s \cosh d_s z + D_s z \sinh d_s z) ] \dots \dots (13)$$

$$\sigma_\theta^{(1)} = \sum_{s=1}^{\infty} (-d_s) \{ (A_s \cosh d_s z + G_s z \sinh d_s z) \frac{J_1(d_s r)}{r} + 2\nu G_s \cosh d_s z J_0(d_s r) \} + \\ + \sum_{s=1}^{\infty} (-d_s) \{ (B_s \cosh d_s z + D_s z \sinh d_s z) \frac{Y_1(d_s r)}{r} + 2\nu D_s \cosh d_s z Y_0(d_s r) \} \dots \dots (14)$$

$$\sigma_z^{(1)} = \sum_{s=1}^{\infty} d_s [ \{ d_s A_s - 2(1-\nu) G_s \} \cosh d_s z + G_s d_s z \sinh d_s z ] J_0(d_s r) + \\ + \sum_{s=1}^{\infty} d_s [ \{ d_s B_s - 2(1-\nu) D_s \} \cosh d_s z + D_s d_s z \sinh d_s z ] Y_0(d_s r) \dots \dots (15)$$

$$\tau_{rz}^{(1)} = \sum_{s=1}^{\infty} (-d_s) J_1(d_s r) [ \{ d_s A_s - (1-2\nu) G_s \} \sinh d_s z + G_s d_s z \cosh d_s z ] + \\ + \sum_{s=1}^{\infty} (-d_s) Y_1(d_s r) [ \{ d_s B_s - (1-2\nu) D_s \} \sinh d_s z + D_s d_s z \cosh d_s z ] \dots \dots (16)$$

$$\sigma_r^{(2)} = \sum_{n=1}^{\infty} \beta_n \cos \beta_n z \left[ \frac{K_1(\beta_n r)}{\beta_n r} \{ \beta_n E_n + F_n (4-4\nu + \beta_n^2 r^2) \} + K_0(\beta_n r) \{ \beta_n E_n + \right. \\ \left. + (3-2\nu) F_n \} \right] + E_0 / r^2 \dots \dots (17)$$

$$\sigma_\theta^{(2)} = \sum_{n=1}^{\infty} (-\beta_n) \cos \beta_n z \left[ \frac{K_1(\beta_n r)}{\beta_n r} \{ \beta_n E_n + 4(1-\nu) F_n \} + (1-2\nu) F_n K_0(\beta_n r) \right] - \\ - E_0 / r^2 \dots \dots (18)$$

$$\sigma_z^{(2)} = \sum_{n=1}^{\infty} (-\beta_n) \cos \beta_n z \{ (\beta_n E_n - 2\nu F_n) K_0(\beta_n r) + F_n \beta_n r K_1(\beta_n r) \} \dots \dots (19)$$

$$\tau_{rz}^{(2)} = \sum_{n=1}^{\infty} \beta_n \sin \beta_n z [ \{ \beta_n E_n + 2(1-\nu) F_n \} K_1(\beta_n r) + F_n \beta_n r K_0(\beta_n r) ] \dots \dots (20)$$

上記の諸式で、添字 (1) と (2) を付した変位および応力をおのおの加えたものが求めるものである。

#### 4. 境界条件と未知定数の関係式

円孔面および厚板の表面における境界条件は次のようである。

$$(\tau_{rz})_{r=a} = 0 \dots \dots (21), \quad (\tau_{rz})_{z=\pm h} = 0 \dots \dots (22)$$

$$(\sigma_r)_{r=a} = -P(z) \dots \dots (23), \quad (\sigma_z)_{z=\pm h} = 0 \dots \dots (24)$$

式(22)より次の関係が得られる。

$$A_1 = \frac{G_1}{ds} (1 - 2\gamma - ds \cdot k \coth ds \cdot k) \dots \dots (25), \quad B_1 = \frac{D_1}{ds} (1 - 2\gamma - ds \cdot k \coth ds \cdot k) \dots \dots (26)$$

式(21)より次の関係が得られる。

$$D_1 = -\frac{J_1(ds \cdot a)}{Y_1(ds \cdot a)} G_1 \dots \dots (27), \quad E_n = -\frac{F_n}{\beta_n} \left\{ 2(1-\gamma) + \beta_n a \frac{K_0(\beta_n a)}{K_1(\beta_n a)} \right\} \dots \dots (28)$$

式(25)～(28)の関係により、 $\sigma_r$ に関する境界条件は式の上で満足されていることになる。また、これらの関係により、応力関数に初めに含まれていた7個の未知定数が $G_1$ ,  $F_n$ および $E_0$ の3個の未知定数に減少する。この3個の未知定数で変位および応力を表わすことができて、例えば、 $\sigma_r$ ,  $\sigma_z$ については次のようである。

$$\begin{aligned} \sigma_r^{(0)} &= \sum_{s=1}^{\infty} (-ds) G_s C_0(ds \cdot r) \left\{ (1 - ds \cdot k \coth ds \cdot k) \cosh ds \cdot z + ds \cdot z \sinh ds \cdot z \right\} + \\ &+ \sum_{s=1}^{\infty} ds G_s \frac{C_1(ds \cdot r)}{ds \cdot r} \left\{ (1 - 2\gamma - ds \cdot k \coth ds \cdot k) \cosh ds \cdot z + ds \cdot z \sinh ds \cdot z \right\} \dots \dots (29.a) \end{aligned}$$

$$\begin{aligned} \sigma_r^{(2)} &= \sum_{n=1}^{\infty} \beta_n \cos \beta_n z F_n \left[ \frac{K_1(\beta_n r)}{\beta_n r} (2 - 2\gamma + \beta_n^2 r^2 - \beta_n a \frac{K_0(\beta_n a)}{K_1(\beta_n a)}) + K_0(\beta_n r) (1 - \beta_n a \frac{K_0(\beta_n a)}{K_1(\beta_n a)}) \right] + \\ &+ E_0 / r^2 \dots \dots (29.b) \end{aligned}$$

$$\sigma_z^{(0)} = \sum_{s=1}^{\infty} (-ds) G_s C_0(ds \cdot r) \left\{ (1 + ds \cdot k \coth ds \cdot k) \cosh ds \cdot z - ds \cdot z \sinh ds \cdot z \right\} \dots \dots (30.a)$$

$$\sigma_z^{(2)} = \sum_{n=1}^{\infty} \beta_n \cos \beta_n z F_n \left\{ (2 + \beta_n a \frac{K_0(\beta_n a)}{K_1(\beta_n a)}) K_0(\beta_n r) - \beta_n r K_1(\beta_n r) \right\} \dots \dots (30.b)$$

上記の諸式に含まれる $C_0(ds \cdot r)$ および $C_1(ds \cdot r)$ は

$$C_{\mu}(ds \cdot r) = J_{\mu}(ds \cdot r) - \frac{J_1(ds \cdot r)}{Y_1(ds \cdot a)} Y_{\mu}(ds \cdot r) \quad (\mu = 0, 1) \dots \dots (31)$$

と定義されたCylindrical functionである。また、固有値 $\lambda$ は次式を満足する根である。

$$J_1(ds \cdot \frac{\ell}{a}) - \frac{J_1(ds)}{Y_1(ds)} Y_1(ds \cdot \frac{\ell}{a}) = 0 \dots \dots (32)$$

$(\ell \gg a)$

残りの境界条件式(23)および(24)を満足せしめるために、 $\sigma_r$ をFourier級数に、 $\sigma_z$ をBesselの級数におのおの展開することが必要となる。結果の $\lambda$ を示すことにすると、次へ2群の連立一次方程式を得る。

式(23)より

$$H_n F'_n - \sum_{s=1}^{\infty} s L_n G'_s + \frac{2}{\pi \cdot h} \sin \frac{n \pi d}{h} = 0 \dots \dots (33)$$

ここで

$$H_n = K_1(\beta_n a) \left\{ 2 - 2\gamma + \frac{n^2 \pi^2}{h^2} (1 - \frac{K_0^2(\beta_n a)}{K_1^2(\beta_n a)}) \right\}$$

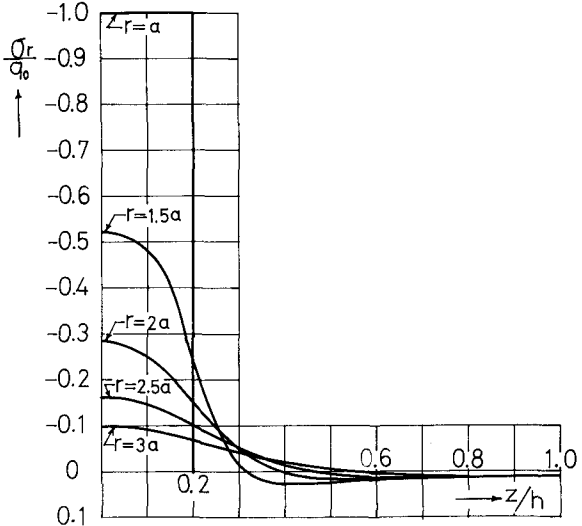


図-2  $\sigma_r$  の分布

$$L_n = \frac{4\lambda_1^2 f^3 n^2 \pi^2 (1)^n}{(\lambda_1^2 + f^2 n^2 \pi^2)^2} \sinh d_n h C_0(\lambda_1)$$

$$E'_0 = -d/h \dots \dots \dots (33')$$

式(24)より

$$M_s G'_s - \sum_{n=1}^{\infty} n N_s F'_n = 0 \dots \dots \dots (34)$$

ここで

$$M_s = \lambda_1 (\cosh d_n h + d_n h / \sinh d_n h)$$

$$n N_s = \frac{2(1)^n f^2 n^2 \pi^2}{e^2 C_0^2(d_n h) - C_0^2(\lambda_1)} \cdot \frac{1}{\lambda_1^2 + f^2 n^2 \pi^2} \times$$

$$\times \{ e^{f n \pi} C_0(d_n h) K_0(\beta_n a) - e^{f n \pi} C_0(d_n h) K_1(\beta_n a) \} \times$$

$$\times \left( \frac{f n \pi K_0(\beta_n a)}{K_1(\beta_n a)} + \frac{2 \lambda_1^2}{\lambda_1^2 + f^2 n^2 \pi^2} \right) + \frac{2 \lambda_1^2}{\lambda_1^2 + f^2 n^2 \pi^2} \times$$

$$\times C_0(\lambda_1) K_1(\beta_n a) \}$$

また、

$$F'_n = F_n / a g_0, G'_s = G_s / a g_0$$

$$E'_0 = E_0 / a^2 g_0, f = a/h, e = b/a$$

#### 5. 数値計算例

計算に用いた諸量は、 $a/h = 0.25$ ,  $d/h = 0.2$ ,  $b/a = 5.0$  および  $\gamma = 0.25$  である。級数の項数を 10 まで取つて 22 項取り扱ひを示す。図-2 ～ 図-5 に示した。

図-3 に示されているように、 $\sigma_0$  は円孔面の荷重の作用する境界で不連続となるが、やはり、引張応力である。

図-4 に示されているように、 $\sigma_2$  も円孔面で不連続となり、圧縮から引張応力に急変する。また、円孔面から離れるにつれて急激に減少する。

#### 6. 結 語

H. Neuber の解より出発して、円孔を有する無限厚板の輪対称応力解析を行なった。輪対称問題の解法には一般に Michell の関数が用いられるが、H. Neuber の解によつても一向にさしつかえないようである。

級数の項数は 22 項しか取らなかつたが、実用上十分な精度の応力値が得られた。円孔面においては有限円筒が内圧を受ける問題<sup>2)</sup>の応力分布と良く類似した結果が得られた。

#### 参考文献

- 1) 斎藤秀雄：短円柱および円盤の輪対称変形、日本機械学会論文集、第 18 卷 68 号、pp. 21 ～ 28、昭 27
- 2) 柴原正雄・尾田十八：輪対称変形をする有限円筒問題、日本機械学会論文集、第 34 卷 259 号、pp. 388 ～ 402、昭 43-3
- 3) 中原一郎・小泉 嘉：一輪引張りをうける無限板の円孔周辺応力におよぼす板厚の影響、日本機械学会論文集、第 25 卷 151 号、pp. 181 ～ 189、昭 34-3
- 4) 宮本 博：3 次元弹性論、pp. 80 ～ 97、農華房、1967

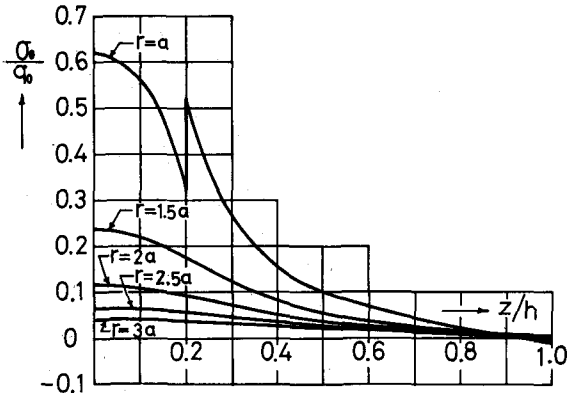


図-3  $\sigma_0$  の分布

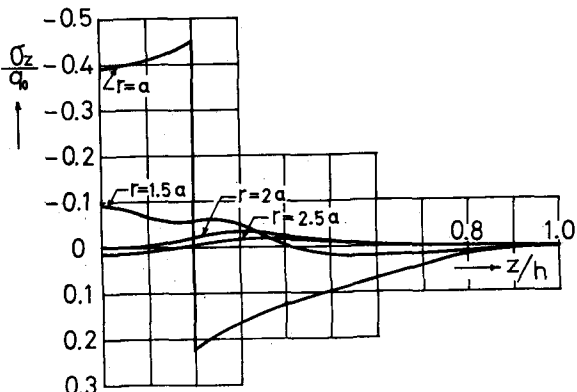


図-4  $\sigma_2$  の分布

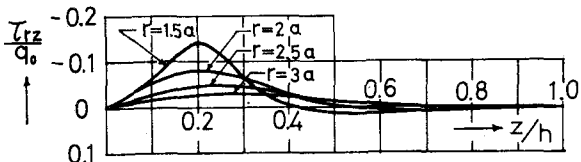


図-5  $T_{rz}$  の分布